

*С. Е. Александров, Б. А. Друянов*

## ПРЕССОВАНИЕ УПЛОТНЯЕМОГО ПЛАСТИЧЕСКОГО МАТЕРИАЛА

Прессование в закрытой прессформе рассматривалось многими авторами [1—5]. В настоящей работе в отличие от других показано, что процесс уплотнения происходит в два этапа: на первом деформация — только в области, прилегающей к пuhanсону, на втором — во всем объеме материала. На первом этапе около дна прессформы существует жесткая (недеформируемая) зона. Положение границы между жесткой и деформируемой зонами зависит от величины осадки. Первый этап заканчивается, когда эта граница достигает дна прессформы. Наличие фронта уплотнения подтверждено экспериментально [6].

При относительно небольшой плотности на трущихся поверхностях действует закон трения Кулона. При увеличении плотности нормальное давление и силы трения неограниченно растут и в некоторый момент достигают максимальной величины, допускаемой условием текучести. Тогда закон трения Кулона теряет силу и в действие вступает закон трения Прандтля. На некоторой стадии процесса на трущихся поверхностях возможно наличие двух зон трения: Кулона и Прандтля. При дальнейшем возрастании плотности зона Кулона исчезает и на всей поверхности прессформы действует закон Прандтля.

**Постановка задачи.** Рассмотрим прессование осесимметричной втулки с внутренним стержнем. Введем цилиндрическую систему координат  $(r, \theta, z)$ , ось  $z$  которой совпадает с осью симметрии прессуемого изделия (рис. 1 : 1 — прессформа, 2 — пuhanсон, 3 — стержень).

Радиальная скорость частиц  $v_r$  должна обращаться в нуль на поверхности стержня и стенке прессформы, т. е. эта величина мала. Положим  $v_r = 0$ . Соответствующее уравнение равновесия получим по методу Хилла [7]. Уравнение виртуальных мощностей имеет вид

$$(1) \quad \int_{R_1}^{R_2} \int_0^h \left( \sigma_z \frac{\partial v_z}{\partial z} + \tau_{rz} \frac{\partial v_z}{\partial r} \right) r dr dz = \int_{R_1}^{R_2} \sigma_z v_z r dr \Big|_{z=h} + \int_0^h \tau_{rz} v_z r dz \Big|_{r=R_1}^{r=R_2}$$

Здесь  $R_2, R_1$  — радиусы прессформы стержня;  $h$  — текущая высота заготовки;  $v_z$  — проекция скорости на ось  $z$ ;  $\sigma_z, \tau_{rz}$  — нормальная и касательная компоненты тензора напряжений.

Чтобы удовлетворить краевым условиям на дне контейнера и основании пuhanсона, положим, что  $v_z$  не зависит от  $r$ , и выполним в левой части уравнения (1) интегрирование по частям:

$$(2) \quad \int_0^h \left[ \int_{-R_1}^{R_2} \left( r \frac{\partial \sigma_z}{\partial z} + \frac{\partial (r \tau_{rz})}{\partial r} \right) dr \right] v_z dz = 0.$$

Так как  $v_z$  — произвольная функция  $z$ , то из (2) следует, что выражение в квадратных скобках должно быть равно нулю. Уравнение равновесия

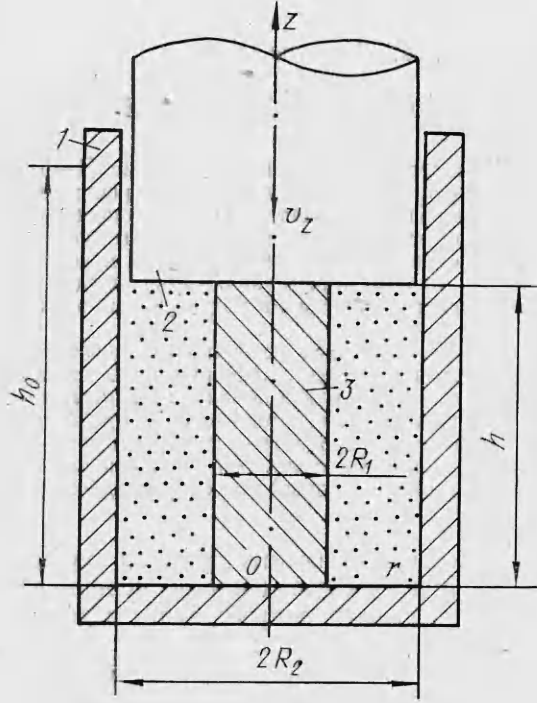
запишем как  $\partial S / \partial z + T_1 R_1 + T_2 R_2 = 0$   $\left( S = \int_{R_1}^{R_2} r \sigma_z dr \right)$  пропорционально

среднему по поперечному сечению значению  $\sigma_z$ ;  $T_1, T_2$  — удельные силы трения на поверхности стержня и стенах прессформы).

Предполагаем, что влияние сил внешнего трения оказывается в узких зонах, прилегающих к боковым поверхностям прессуемого объема, и что распределение  $\sigma_z$  по поперечному сечению близко к равномерному. Тогда  $S = 0,5(R_2^2 - R_1^2)\sigma_z$  и уравнение равновесия принимает форму

$$(3) \quad \partial \sigma_z / \partial z + T_1 2R_1 / (R_2^2 - R_1^2) + T_2 2R_2 / (R_2^2 - R_1^2) = 0.$$

Величины  $T_1$  и  $T_2$  определяются законом трения. Таким образом, статические краевые условия учитываются в уравнениях равновесия. В даль-



Р и с. 1

сматриваемого процесса представляем формулами [5]

$$(5) \quad \sigma_r = \sigma_a = -\frac{(3\alpha - 2\beta)}{\sqrt{3}(3\alpha + 4\beta)^{1/2}} k, \quad \sigma_z = -\frac{1}{\sqrt{3}} (3\alpha + 4\beta)^{1/2} k$$

( $\sigma_r$ ,  $\sigma_\theta$ ,  $\sigma_z$  — главные нормальные напряжения). Подставляя последнее из равенств (5) в (3), имеем уравнение, определяющее зависимость плотности от координаты  $z$ :

$$(6) \quad \frac{\partial \rho}{\partial z} = 1/g(\rho), \quad g(\rho) = k(R_2 - R_1)/[4\sqrt{3}T(3\alpha + 4\beta)^{1/2}] (3d\alpha/d\rho + 4d\beta/d\rho)$$

( $T$  — известная функция плотности при любом законе трения). Так, при законе трения Кулона  $T = f|\sigma_r|$  ( $\sigma_r$  — из (5)). Для нахождения  $v_z$  имеем уравнение неразрывности, которое при сделанных предположениях записывается как

$$(7) \quad \frac{\partial \rho}{\partial t} + v_z \frac{\partial \rho}{\partial z} + \rho \frac{\partial v_z}{\partial z} = 0.$$

Соотношения (6) и (7) совместно с краевыми и начальными условиями определяют зависимость  $\rho$  и  $v_z$  от  $z$  и  $t$ .

**Первый этап уплотнения.** Положим, что в начальный момент плотность распределена равномерно ( $\rho = \rho_0$ ) и высота заготовки равна  $h_0$ . Решение уравнения (6) примет вид

$$(8) \quad z + \varphi(t) = G(\rho), \quad G(\rho) = \int_{\rho_0}^{\rho} g(\rho) d\rho$$

( $\varphi(t)$  — произвольная функция времени). Соотношение (8) перепишем в форме  $\rho = F(z + \varphi(t))$  ( $F$  — функция, обратная  $G$ ). Отсюда видно, что изменение  $\rho$  со временем имеет волнобразный характер. Если  $\varphi(t)$  — возрастающая функция, то волна движется в отрицательную сторону оси  $z$ . Распределение плотности в текущий момент времени  $t$  представим так:  $\rho = \rho_0$  при  $h_A(t) \geq z \geq 0$  (жесткая зона),  $\rho = F(z + \varphi(t))$  при  $h(t) \geq z \geq h_A(t)$  (зона уплотнения), где  $h(t)$  — текущая высота рабочего объема,

нейшем считаем  $T_1 = T_2 = T$ . Уравнение (3) может быть получено по методу плоских сечений. Однако использованный метод Хилла связывает это уравнение с предположениями кинематического характера, сделанными ранее.

Положим, что материал подчиняется условию текучести Грина

$$(4) \quad \sigma^2/\alpha + \tau^2/\beta = k^2.$$

Здесь  $\sigma$  — среднее напряжение;  $\tau$  — интенсивность касательных напряжений;  $k$  — предел текучести на сдвиг материала основы;  $\alpha$ ,  $\beta$  — известные функции  $\rho$  ( $\rho$  — относительная плотность, равная отношению размерной плотности к плотности твердой фазы). Из уравнений ассоциированного закона течения при принятых предположениях относительно напряжений и скоростей напряженное состояние рас-

$h_A(t)$  — высота, соответствующая границе деформируемой и жесткой зон, которая определяется из условия непрерывности плотности на границе этих зон ( $\rho = \rho_0$  при  $z = h_A$ ). Из (8) следует, что  $h_A = -\varphi(t)$ . Потребуем, чтобы в начальный момент  $h_A = h_0$ , т. е. чтобы зона уплотнения отсутствовала. Тогда функция  $\varphi(t)$  должна удовлетворять условию  $\varphi(0) = -h_0$ .

Процесс уплотнения можно представить следующим образом. В начальный момент плотность по всей длине заготовки распределена равномерно. Затем под пуансоном появляется зона уплотнения, в которой  $\rho = F(z + \varphi(t))$ . Она занимает отрезок  $h_A(t) \leq z \leq h(t)$ , распространяется вниз со скоростью  $|h_A| = \dot{\varphi}$  ( $h_A = dh_A/dt$ ,  $\dot{\varphi} = d\varphi/dt$ ). При  $0 \leq z < h_A$  деформация отсутствует, плотность сохраняет начальное значение.

Чтобы определить  $\varphi(t)$  и проекцию скорости  $v_z$ , рассмотрим уравнение неразрывности (7). Используя (8), приведем его к виду  $\rho \partial v_z / \partial \rho + v_z + \dot{\varphi} = 0$ , откуда  $v_z = -\varphi(t) + \psi(t)/\rho$  ( $\psi(t)$  — произвольная функция времени).

Для нахождения  $\varphi$  и  $\psi$  имеем два краевых условия: первое выражает условие непрерывности плотности и скорости на границе деформируемой и жесткой зон:  $v_z = 0$  при  $\rho = \rho_0$ , второе — условие непроницаемости дна пуансона:  $v_z = \dot{h}$  при  $z = h$ . Из первого условия вытекает, что  $\psi(t) = -\varphi(t)\rho_0$ , второе совместно с соотношением  $v_z = -\varphi(t) + \psi(t)/\rho$  приводит к дифференциальному уравнению для  $\varphi(t)$ :

$$(9) \quad d\varphi = [\rho_m/(\rho_0 - \rho_m)] dh$$

( $\rho_m = F(h + \varphi)$  — плотность под пуансоном). Уравнение (9) дает зависимость  $\varphi$  от  $h$ , причем из начального условия следует  $\varphi(h_0) = -h_0$ , этим определяется зависимость  $\varphi$  от  $t$ , так как  $h(t)$  известна. Используя соотношение  $h + \varphi(t) = G(\rho_m)$ , можно рассматривать  $\varphi$  как функцию  $\rho_m$ . Продифференцируем это равенство и подставим полученное выражение в (9), после интегрирования которого имеем

$$(10) \quad \varphi = \frac{1}{\rho_0} \int_{\rho_0}^{\rho_m} \rho_m g(\rho_m) d\rho_m - h_0.$$

Распределение плотности по высоте получим из (8). С помощью (9) находим

$$v_z = \frac{\rho_m}{\rho} \frac{(\rho_0 - \rho)}{(\rho_0 - \rho_m)} \dot{h}.$$

**Второй этап уплотнения.** Уплотнение происходит во всем объеме прессуемого материала. Момент времени  $t_*$  и высоту рабочей части  $h_*$ , соответствующие началу второго этапа, определим из условия  $h_A = 0$ . Поскольку  $h_A = -\varphi(t)$ , то  $t_*$  находится из уравнения  $\varphi(t_*) = 0$ . Так как  $h$  — заданная функция времени, то известна и  $h_*$ . Распределение плотности на втором этапе по-прежнему описывается функцией  $\rho = F(z + \varphi(t))$ . Однако вместо краевого условия  $v_z = 0$  при  $\rho = \rho_0$  должно быть принято  $v_z = 0$  при  $z = 0$ . Так как  $v_z = -\varphi + \psi/\rho$ , то это условие приводит к соотношению  $\psi = \varphi\rho_n$ , где  $\rho_n$  — плотность на дне прессформы ( $z = 0$ ). Тогда

$$(11) \quad v_z = \varphi(\rho_n/\rho - 1).$$

Из второго краевого условия ( $v_z = \dot{h}$  при  $z = h$ ) имеем

$$(12) \quad (\dot{h} + \varphi)\rho_m = \varphi\rho_n.$$

Так как  $\dot{h} + \varphi = G(\rho_m)$ , то  $\dot{h} + \varphi = g(\rho_m)\rho_m$ . Кроме того,  $\varphi = G(\rho_n)$ , так что  $\varphi = g(\rho_n)\rho_n$ . Подставив эти выражения в (12), получим  $\rho_n g(\rho_n) d\rho_n =$

$= \rho_m g(\rho_m) d\rho_m$ . Отсюда

$$\int_{\rho_0}^{\rho_n} \rho g(\rho) d\rho = \int_{\rho_0}^{\rho_m} \rho g(\rho) d\rho - c \quad (c = \text{const}).$$

Постоянная  $c$  находится из условия  $\rho_m = \rho_m^* = \rho_m(t_*)$ ,  $\rho_n = \rho_0$  в момент начала второго этапа. Окончательно получаем соотношение между текущими значениями  $\rho_m$  и  $\rho_n$ :

$$(13) \quad \int_{\rho_0}^{\rho_n} \rho g(\rho) d\rho = \int_{\rho_m^*}^{\rho_m} \rho g(\rho) d\rho,$$

оно определяет  $\rho_n$  как функцию  $\rho_m$ . Поскольку  $\varphi = G(\rho_n)$ , тем самым  $\varphi = \varphi(\rho_m)$ . Таким образом, через  $\rho_m$  выражаются все параметры процесса. Так как  $\rho_m$  однозначно связано с  $h$ , то решение не зависит явно от времени, но зависит от  $h$  и  $z$ , как и должно быть в пластическом материале.

Чтобы получить окончательную формулу для скорости на втором этапе, выразим  $\dot{\varphi}$  через  $\dot{h}$  при помощи (12) и подставим в (11):

$$(14) \quad v_z = \frac{(\rho_n - \rho)}{(\rho_n - \rho_m)} \frac{\rho_m}{\rho} \dot{h}.$$

Решение, построенное выше, зависит от вида функций  $\alpha$  и  $\beta$ , входящих в условие текучести (4), и закона трения на стенах прессформы и стержня. Для  $\alpha$  и  $\beta$  примем [8]:

$$(15) \quad \alpha = (4/3)\rho^4/(1 - \rho), \quad \beta = \rho^3.$$

Закон трения на контактирующих поверхностях зависит от напряженного состояния и коэффициента трения Кулона  $f$ , который считаем постоянным. Если напряженное состояние таково, что удельные силы трения, найденные по закону Кулона, меньше  $\tau_{\max}$  ( $\tau_{\max}$  — максимальное касательное напряжение, допускаемое условием текучести, при данном значении среднего напряжения  $\sigma$ ), то  $T = f|\sigma_r| \leq \tau_{\max}$ , если же это неравенство не выполняется, то должен быть принят закон трения Прандтля  $T = \tau_{\max}$ .

Так как напряжения, определяемые (5), удовлетворяют условию текучести и являются главными, то  $\tau_{\max} = |\sigma_r| - \sigma_0/2$  и, следовательно, с учетом (15) имеем

$$(16) \quad \tau_{\max} = (\sqrt{3}/2)\rho^{3/2}(1 - \rho)^{1/2}.$$

На начальной стадии, пока  $\rho$  и  $|\sigma_r|$  малы, выполняется закон трения Кулона. Из (5) следует, что  $|\sigma_r| \rightarrow \infty$  при  $\rho \rightarrow 1$ , поэтому в процессе уплотнения удельные силы трения возрастают и в некоторый момент времени достигают  $\tau_{\max}$ . Впервые это происходит в тех точках поверхностей трения, которые прилегают к пuhanсону, поскольку именно там имеет место максимальная плотность. Дальнейшая осадка приводит к распространению зоны трения Прандтля по всей высоте очага деформации.

Определим условия появления зоны трения Прандтля и исчезновения зоны трения Кулона. Для этого сравним  $\tau_{\max}$  из (16) со значением удельных сил трения при законе Кулона ( $T = f|\sigma_r|$ ,  $\sigma_r$  дается зависимостью (5)). В результате получим

$$\rho_1 = (3 + 2f)/3(2f + 1).$$

Условие  $\rho_m = \rho_1$  соответствует появлению зоны трения Прандтля, а  $\rho_n = \rho_1$  — исчезновению зоны трения Кулона. Если  $f = 0,1$  и  $0,2$ , то  $\rho_1 = 0,89$  и  $0,81$ . На первом этапе плотность мала, силы трения, как правило, не достигают  $\tau_{\max}$  и такой случай не исследуется.

Случай, когда на всей высоте очага деформации действует закон трения Кулона. Рассмотрим начальную стадию уплотнения ( $\rho_m \leq \rho_1$ ). Здесь на всем протяжении очага деформации действует закон трения Кулона, т. е.  $T = f |\sigma_r| = f \frac{k}{V^3} \frac{\rho^{3/2}}{(1-\rho)^{1/2}} (3\rho - 1)$ . Согласно (6) и (15), имеем

$$(17) \quad g(\rho) = \frac{(R_2 - R_1)}{2f} \frac{(3 - 2\rho)}{(1 - \rho) \rho (3\rho - 1)},$$

$$G(\rho) = \frac{(R_2 - R_1)}{2f} \ln \left[ c_0 \frac{(3\rho - 1)^{3,5}}{\rho^5 (1 - \rho)^{0,5}} \right]$$

$$(c_0 = \rho_0^3 (1 - \rho_0)^{0,5} (3\rho_0 - 1)^{-3,5}).$$

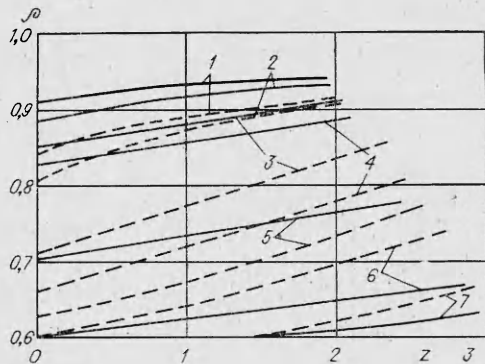


Рис. 2

На первом этапе уплотнения функция  $\varphi$  определяется соотношением (10):

$$(18) \quad \varphi = \frac{(R_2 - R_1)}{2f\rho_0} \ln \left\{ \left( \frac{3\rho_m - 1}{3\rho_0 - 1} \right)^{7/6} \left( \frac{1 - \rho_0}{1 - \rho_m} \right)^{1/2} \right\} - h_0.$$

Текущая высота рабочего объема

$$(19) \quad h = G(\rho_m) - \varphi(\rho_m).$$

Зная зависимость (18), с помощью (8) и (17) можно вычислить распределение плотности и давление прессования для разных значений  $\rho_m$ . При этом (19) определяет положение пуансона в данный момент времени.

Результаты расчета при  $R_1 = 0$ ,  $h_0/R_2 = 3$ ,  $\rho_0 = 0,6$ ,  $f = 0,1$  (сплошные линии) и  $0,2$  (штриховые) приведены на рис. 2 (кривые 6, 7).

Значение  $\rho_m$ , соответствующее концу первого этапа уплотнения  $\rho_m^*$ , находится из уравнения  $\varphi = 0$ :  $\rho_m^* = 0,614$  при  $f = 0,2$ ,  $\rho_m^* = 0,607$  при  $f = 0,1$ . На втором этапе уплотнения  $\varphi$  определяется формулой  $\varphi = G(\rho_n)$ . Величину  $\rho_n$  получаем из (13), которое теперь примет вид

$$(20) \quad \left( \frac{3\rho_n - 1}{3\rho_0 - 1} \right)^{7/6} \left( \frac{1 - \rho_0}{1 - \rho_n} \right)^{1/2} = \left( \frac{3\rho_m - 1}{3\rho_m^* - 1} \right)^{7/6} \left( \frac{1 - \rho_m^*}{1 - \rho_n} \right)^{1/2}.$$

Результаты расчета распределения плотности представлены на рис. 2 (кривые 4, 5). Это решение в силе до тех пор, пока  $\rho_m \leq \rho_1$ . Если  $\rho_1 < \rho_m$ , то нужно рассматривать совместное существование зон трения Кулона и Прандтля.

**Случай, когда имеются обе зоны.** Этот период длится, пока выполняется неравенство  $\rho_m \geq \rho_1 \geq \rho_n$ . Каждой зоне соответствует свое решение: для зоны трения Кулона

$$z + \varphi_K(t) = G_K(\rho), \quad G_K(\rho) = \int_{\rho_0}^{\rho} g_K(\rho) d\rho, \quad \rho = F_K(z + \varphi_K), \quad v_K = -\dot{\varphi}_K + \psi_K/\rho;$$

для зоны трения Прандтля

$$(21) \quad z + \varphi_P(t) = G_P(\rho), \quad G_P(\rho) = \int_{\rho_0}^{\rho} g_P(\rho) d\rho, \quad \rho = F_P(z + \varphi_P),$$

$$v_P = -\dot{\varphi}_P + \psi_P/\rho.$$

Здесь  $g_K(\rho)$  и  $G_K(\rho)$  определяются из (17), а

$$(22) \quad g_n(\rho) = \frac{(R_2 - R_1)}{4} \frac{(3 - 2\rho)}{\rho(1 - \rho)^3}, \quad G_n(\rho) = \frac{(R_2 - R_1)}{4} \left\{ \left[ 3 \ln \left( \frac{\rho}{1 - \rho} \right) + \left( \frac{1}{1 - \rho} \right) \right] - \left[ 3 \ln \left( \frac{\rho_0}{1 - \rho_0} \right) + \left( \frac{1}{1 - \rho_0} \right) \right] \right\}.$$

Граница зон  $z^*$  находится из условия  $\rho = \rho_1$ . Отсюда  $z^* = G_K(\rho_1) - \varphi_K(t)$  и  $z^* = G_n(\rho_1) - \varphi_n(t)$ , следовательно,  $\varphi_n(t) = \varphi_K(t) - G_K(\rho_1) + G_n(\rho_1)$  и  $\varphi_n(t) = \varphi_K(t)$ . Так как на границе зон должна быть непрерывна проекция скорости  $v_z$ , то  $\psi_K(t) = \psi_n(t)$ . Зона трения Кулона примыкает к дну прессформы, поэтому  $v_K = 0$  при  $z = 0$ , тогда  $\varphi_K(t)\rho_n = \psi_K(t)$ . Зона трения Прандтля примыкает к пуансону, значит,  $\varphi_K(t) + \psi_K(t)/\rho_m = h$ . Комбинируя два последних равенства, получаем

$$(23) \quad \varphi_K(t)(\rho_n/\rho_m - 1) = h.$$

Определяя из  $h = G_n(\rho_m) - \varphi_n(t)$  значение  $h$  и подставляя его с учетом  $\varphi_n(t) = \varphi_K(t)$  в (23), имеем для нахождения  $\varphi_K(t)$

$$(24) \quad d\varphi_K = \rho_m g_n(\rho_m) d\rho_m / \rho_n.$$

Границочное условие для (24):  $\varphi_K = \varphi^*$  при  $\rho_m = \rho_1$  ( $\varphi^* = G_K(\rho_n)$  при  $\rho_m = \rho_1$ ). Отсюда  $\varphi_K = \int_{\rho_1}^{\rho_m} \frac{\rho_m g_n(\rho_m)}{\rho_n} d\rho_m + \varphi^*$ .

Зависимость  $\rho_n$  от  $\rho_m$  отыщем с помощью уравнения

$$(25) \quad \int_{\rho_n^*}^{\rho_n} \rho_n g_K(\rho_n) d\rho_n = \int_{\rho_1}^{\rho_m} \rho_m g_n(\rho_m) d\rho_m,$$

а  $\rho_n^*$  — из (20) при  $\rho_m = \rho_1$ . Интегрирование (25) дает

$$(26) \quad \frac{1}{f} \ln \left[ \frac{(3\rho_n - 1)^{7/3} (1 - \rho_n^*)}{(3\rho_n^* - 1)^{7/3} (1 - \rho_n)} \right] = \frac{(\rho_m - \rho_1)}{(1 - \rho_m)(1 - \rho_1)} + 2 \ln \left( \frac{1 - \rho_1}{1 - \rho_m} \right).$$

Теперь, вычислив  $\varphi_K(t)$ , можно найти все функции интегрирования, а следовательно, распределение плотности и усилие прессования. Результаты расчета представлены на рис. 2 (кривые 2, 3).

**Случай, когда на всей длине очага деформации действует закон трения Прандтля.** Начало этого периода определяется условием  $\rho_n = \rho_1$ . Из (26) находится плотность под пуансоном  $\rho_m'$  в начале этого периода. Распределение плотности и скорости описывается зависимостями (21) и (22). Границные условия:  $v_z = 0$  при  $z = 0$ ,  $v_z = h$  при  $z = h$ . Проводя преобразования, подобные прежним, имеем

$$(27) \quad \varphi_n = \int_{\rho_m'}^{\rho_m} \frac{\rho_m g_n(\rho_m)}{\rho_n} d\rho_m + \varphi'.$$

Используя уравнение  $\varphi_n(t) = \varphi_K(t) - G_K(\rho_1) + G_n(\rho_1)$ , запишем  $\varphi' = \varphi_n(\rho_m')$ . Плотность на дне прессформы получаем из

$$(28) \quad \int_{\rho_m'}^{\rho_m} \rho_m g_n(\rho_m) d\rho_m = \int_{\rho_1}^{\rho_n} \rho_n g_n(\rho_n) d\rho_n.$$

Результаты расчета распределения плотности по зависимостям (27), (28) представлены на рис. 2 (кривые 1).

## ЛИТЕРАТУРА

1. Жданович Г. Н. Теория прессования металлических порошков.— М.: Металлургия, 1969.
2. Лаптев А. М. Деформирование пористого материала в закрытой матрице // Изв. вузов. Машиностроение.— 1979.— № 7.
3. Перельман В. Е. Формирование порошковых материалов.— М.: Металлургия, 1979.
4. Петросян Г. Л. Пластическое деформирование порошковых материалов.— М.: Металлургия, 1988.
5. Штерн М. Б., Сердюк Г. Г., Максименко Л. А. и др. Феноменологические теории прессования порошков.— Киев: Наук. думка, 1982.
6. Глухов Л. М., Бахтин В. Г., Кудрин А. Б. и др. Исследование способов повышения качества порошковых изделий сложной формы при прессовании // Изв. вузов. Черная металлургия.— 1987.— № 3.
7. Хилл Р. Общий метод анализа процессов металлообработки // Механика.— М., 1964.— № 3.
8. Скородод В. В., Тучинский Л. И. Условие пластичности пористых тел // Порошковая металлургия.— 1978.— № 11.

г. Москва

Поступила 8/VIII 1988 г.

УДК 539.374

Э. И. Блинов

## АНАЛИТИЧЕСКОЕ ОПИСАНИЕ НЕОБРАТИМОГО ФОРМОИЗМЕНЕНИЯ МЕТАЛЛОВ ПРИ ЦИКЛИЧЕСКОМ ТЕПЛОВОМ ВОЗДЕЙСТВИИ

В [1] разработана теория неизотермической деформации металлов, которая, в частности, объясняет и описывает деформацию нагруженного тела при колебаниях температуры. Ниже в рамках этой теории аналитически описывается необратимое изменение формы из-за циклических теплосмен свободного от внешней нагрузки металлического образца.

**1. Коэффициент роста. Эксперимент и теория.** Относительную необратимую деформацию за один полный цикл теплосмены образца вслед за [2] будем называть коэффициентом роста  $\gamma$ . Как отмечено в [2], обычно бывает достаточно около 10—20 теплосмен, чтобы  $\gamma$  принял свое уставившееся значение. А так как он редко превышает  $5 \cdot 10^{-5}$  1/цикл, то за такое число циклов относительное изменение размеров составляет не более 0,1 %. Поэтому при нескольких тысячах или десятках тысяч циклов теплосмен, за которые размеры образца вырастают на десятки и сотни процентов, нет смысла учитывать зависимость изменения формы от числа предшествующих циклов.

Анализ многочисленных экспериментов приводит авторов [2] к заключению, что  $\gamma$  в основном определяется интервалом и областью температур цикла и временем пребывания при верхней и нижней температурах. При достаточно быстрых теплосменах он почти не зависит от скорости нагреваний и охлаждений. Во всяком случае, эта скорость не является главным определяющим фактором, так что при расчетах ею можно пренебречь и полагать изменения температуры мгновенными.

В [1] получены формулы (6.5) и (6.6), воспроизведенные ниже:

$$(1.1) \quad \varepsilon_*^H = \varepsilon_0^H + B |\Delta T| / c;$$

$$(1.2) \quad c\varepsilon^H = c\Delta\varepsilon_*^H + K\alpha_* t + \frac{B}{\beta} \left[ Kt - \left( 1 - \frac{K}{\beta} \right) (1 - \exp(-\beta t)) \right] |\Delta T|,$$

где  $\varepsilon^H$ ,  $\varepsilon_0^H$ ,  $\varepsilon_*^H$  — относительная необратимая деформация полная, в начале и в конце скачка температуры соответственно;  $\Delta T$  — мгновенное приращение температуры;  $t$  — время;  $B$ ,  $K$ ,  $\alpha$ ,  $\beta$ ,  $c$  — постоянные материала.